

گروه‌بندی لاین‌های امیدبخش زمستانه کلزا (*Brassica napus L.*) بر اساس اثر متقابل ژنتیک × محیط

Grouping of Promising Winter Rapeseed (*Brassica napus L.*) Lines Based on Genotype × Environment Interaction

سید‌سجاد سهرابی^۱، حمید دهقانی^۲ و بهرام علیزاده^۳

۱- به ترتیب دانشجوی سابق کارشناسی ارشد و دانشیار، گروه اصلاح نباتات، دانشکده کشاورزی، دانشگاه تربیت مدرس، تهران
۲- استادیار، مؤسسه تحقیقات اصلاح و تهیه نهال و بذر، کرج
۳- استادیار، مؤسسه تحقیقات اصلاح و تهیه نهال و بذر، کرج

تاریخ دریافت: ۱۳۹۲/۱۱/۳۰ تاریخ پذیرش: ۱۳۹۳/۵/۱۶

چکیده

سهرابی، س. س.، دهقانی، ح. و علیزاده، ب. ۱۳۹۳. گروه‌بندی لاین‌های امیدبخش زمستانه کلزا (*Brassica napus L.*) بر اساس اثر متقابل ژنتیک × محیط. مجله بهنژادی نهال و بذر ۱۳۹۳: ۸۰۷-۸۱۹.

بررسی اثر متقابل ژنتیک × محیط با هدف انتخاب ژنتیک‌های برتر یکی از مهم‌ترین مراحل برنامه‌های بهنژادی به شمار می‌رود. هدف از این پژوهش گروه‌بندی دوازده لاین امیدبخش زمستانه کلزا به همراه رقم شاهد اکاپی بر مبنای شباهت پاسخ آن‌ها به محیط‌های مختلف با استفاده از روش لین و باتلر بود. آزمایش‌ها در قالب طرح بلوک‌های کامل تصادفی با سه تکرار در دو سال زراعی ۱۳۸۹-۱۳۹۱ در ایستگاه‌های تحقیقاتی کرج، کرمانشاه، بجنورد، همدان، اصفهان و اراک انجام شد. تجزیه واریانس مرکب با فرض تصادفی بودن محیط‌ها و ثابت بودن ژنتیک‌ها و حذف دو ایستگاه بجنورد و اراک به دلیل ناهمگنی خطای آزمایش انجام شد. نتایج تجزیه مرکب نشان داد که اثر متقابل سال × مکان در سطح احتمال ۱ درصد و اثر متقابل سال × مکان × ژنتیک در سطح احتمال ۵ درصد معنی دار بود. نتایج گروه‌بندی لاین‌ها با استفاده از مدل اول لین و باتلر نشان داد که لاین‌های امیدبخش L137 و L201 از پایداری بالایی برخوردار بودند. در مدل دوم، لاین‌ها به دو گروه تقسیم شدند. در گروه اول، همین لاین‌ها با داشتن بالاترین ضریب رگرسیونی به عنوان لاین‌های پایدار برای مناطق مساعد شناسائی شدند. در گروه دوم، لاین L63 با داشتن کمترین میزان ضریب رگرسیونی مناسب برای محیط‌های نامساعد تشخیص داده شد. با توجه به نتایج این تحقیق تجزیه خوبه‌ای می‌تواند در تعیین ژنتیک‌های پایدار، کارا و مفید واقع شود.

واژه‌های کلیدی: کلزا، اثر متقابل ژنتیک × محیط، تجزیه مرکب، پایداری، رگرسیون.

مقدمه

چند بعدی اثر متقابل ژنوتیپ × محیط، باعث شده است که استفاده از روش های چند متغیره توسط به نژاد گران افزایش چشم گیری یابد (Yan, 2002, 2012؛ Moreno-González *et al.*, 2004؛ Zobel *et al.*, 1988).

یکی از روش های چند متغیره روش تجزیه خوشای است. در این روش ژنوتیپ های با شباهت بیشتر در یک گروه قرار می گیرند به طوری که بین گروه ها حداقل اختلاف وجود داشته باشد (Johnson and Wichern, 2002). از جمله کاربردهای تجزیه خوشای در اصلاح بباتات می توان به شناسایی ژنوتیپ های با پاسخ های مشابه به محیط های مختلف جهت تعیین ژنوتیپ هایی با پایداری مناسب و انتخاب دقیق تر ژنوتیپ هایی که با رقم شاهد در یک گروه قرار می گیرند، اشاره کرد (Shorter *et al.*, 1977). با این توصیف و با توسعه روش تجزیه خوشای برخی از محققان از این روش برای گروه بندی ژنوتیپ ها بر مبنای اثر متقابل ژنوتیپ × محیط استفاده کرده اند (Lin and Thompson, 1975؛ Ramey and Rosielle, 1983؛ Lin and Butler, 1990؛ Karimizadeh *et al.*, 2012).

در تحقیقی در بررسی پایداری پنبه آپلندر (*Gossypium hirsutum* L.) برای به حداقل رساندن اثر متقابل ژنوتیپ × محیط،

بررسی اثر متقابل ژنوتیپ × محیط با هدف انتخاب ژنوتیپ برتر یکی از مهم ترین مراحل برنامه های به نژادی به شمار می رود (Kaiser *et al.*, 2014؛ Ghaderi *et al.*, 1980). در اکثر برنامه های به نژادی با وجود آزمایش های دقیق و انتخاب موثر، وجود اثر متقابل ژنوتیپ × محیط باعث ایجاد ناپایداری در میزان عملکرد ژنوتیپ ها در محیط های مختلف شده و بهبود صفات کمی از جمله عملکرد دانه را با مشکل جدی مواجه می کند (Gauch, 1988؛ Yan *et al.*, 2007). به منظور کاهش اثر متقابل ژنوتیپ × محیط جهت انتخاب ژنوتیپ های پایدار، ارزیابی ژنوتیپ ها در آزمایش های چند محیطی بخش مهمی از برنامه های به نژادی به شمار می رود (Freeman, 1985؛ Zang *et al.*, 2013). (Allard and Bradshaw, 1964) روش هایی که برای تجزیه اثر متقابل ژنوتیپ × محیط مورد استفاده قرار می گیرند در سه گروه، روش های تک متغیره پارامتریک، روش های ناپارامتریک و روش های چند متغیره دسته بندی شده اند (Thennarasu, 1995؛ Nassar and Huehn, 1987؛ Lin *et al.*, 1986). محدودیت های روش های تک متغیره در تفسیر ماهیت

روش از نظر این که در آن‌ها از مدل رگرسیونی استفاده شده یا از تجزیه واریانس، به چهار گروه: مدل ۱) مبتنی بر رگرسیون و میزان تشابه شبیخ ط رگرسیون و عرض از مبدأ؛ مدل ۲) مبتنی بر رگرسیون و میزان مشابهت شبیخ ط رگرسیون؛ مدل ۳) مبتنی بر تجزیه واریانس و میزان تشابه ژنتیپ‌ها و اثر متقابل ژنتیپ × محیط و مدل ۴) مبتنی بر تجزیه واریانس و میزان تشابه اثر متقابل ژنتیپ × محیط تقسیم می‌شود. همچنین در این روش‌ها هنگامی که F محاسبه شده معنی دار باشد فرآیند تجزیه خوش‌های متوقف می‌شود. با این توصیف لین و باتلر (Lin and Butler, 1990) در آزمایشی عملکرد چهار رقم جوشش ردیفه در ۱۷ منطقه از کانادا را با استفاده از این روش‌ها مورد بررسی قرار دادند. در نهایت با استفاده از مدل‌های یک و دو، پنج مکان به عنوان نماینده‌ای از ۱۷ منطقه مورد بررسی انتخاب شدند.

صباباغنیا و همکاران (Sabaghnia et al., 2012a) با بررسی اثر متقابل ژنتیپ × محیط در ۱۸ ژنتیپ گندم نان در پنج منطقه از ایران اظهار داشتند که استفاده از روش گروه‌بندی مبتنی بر اثر متقابل ژنتیپ × محیط برای خوش‌بندی ژنتیپ‌های گندم بسیار مفید و کارا است. کریمی‌زاده و همکاران (Karimizadeh et al., 2006) با استفاده از چهار مدل تجزیه خوش‌های لین و باتلر (Lin and Butler, 1990) ده هیبرید زودرس

ابوالفتوح و همکاران (Abou-el-Fittouh et al., 1969) ۳۹ گانه کمریند پنبه خیز ایالات متحده را طی سال‌های ۱۹۶۰-۱۹۶۲ با استفاده از روش تجزیه خوش‌های طبقه‌بندی کردند. آن‌ها شبیخ ط رگرسیونی فینلی و ویلکینسون (Finlay and Wilkinson, 1963) معيار عدم تشابه در تجزیه خوش‌های لین و تامپسون (Lin and Thompson, 1975) برای گروه‌بندی ژنتیپ‌ها و محیط‌ها، در آزمون اثر متقابل ژنتیپ × محیط مورد استفاده قرار دادند. لین و تامپسون (Lin and Thompson, 1975) گزارش کردند که پاسخ هر ژنتیپ در هر محیط می‌تواند به وسیله تفاوت بین مقادیر شبیخ ط رگرسیون برآورد شود.

لین (Lin, 1982) داده‌های حاصل از آزمایش یتس و کوکران (Yates and Cochran, 1938) تجزیه خوش‌های مورد بررسی قرار داد. در هر سیکل از گروه‌بندی با محاسبه میانگین مربعات اثر متقابل ژنتیپ × محیط درون هر خوش‌های جدید، و استفاده از آن به عنوان معيار عدم تشابه، ژنتیپ‌ها را به گروه‌هایی که در آن‌ها اثر متقابل ژنتیپ × محیط حداقل و غیرمعنی‌دار است دسته‌بندی کرد. چهار روش تجزیه خوش‌های برای برآورد اثر متقابل ژنتیپ × محیط توسط لین و باتلر (Lin and Butler, 1990) ارائه شد. این چهار

دوازده لاین امیدبخش به همراه رقم اکاپی (شاهد)، در قالب طرح بلوک‌های کامل تصادفی با سه تکرار درایستگاه‌های تحقیقاتی شهرهای کرج، اصفهان، همدان، کرمانشاه، اراک و بجنورد در دو سال زراعی ۱۳۸۹-۹۱ کشت و مورد مقایسه قرار گرفتند. آزمایش‌ها در دو سال و شش مکان (۱۲ محیط) انجام شدند. مشخصات فنی و زراعی اجرای طرح در کلیه مناطق یکسان بود. ژنتیک‌ها فاکتور ثابت و سال و مکان فاکتور تصادفی در نظر گرفته شدند. هر کرت شامل چهار ردیف پنج متری به فواصل ۳۰ سانتی‌متر از یک دیگر در نظر گرفته شدند. کشت به صورت جوی و پاشته و آبیاری به صورت نشتری انجام شد. عملکرد دانه هر لاین در تمام آزمایش‌ها اندازه‌گیری شد و پس از جمع آوری اطلاعات دو ساله ایستگاه‌ها ابتدا تجزیه واریانس ساده برای عملکرد دانه برای هر مکان در هر سال انجام شد و پس از آزمون یکنواختی واریانس خطاهای توسط آزمون بارتلت تجزیه مرکب داده‌ها انجام شد. در نهایت تجزیه خوش‌های چهارگانه لین و باتلر (Lin and Butler, 1990) روی داده‌ها انجام شد. ماتریس فاصله برای لاین‌ها بر اساس مدل‌های چهارگانه لین و باتلر (1990) با استفاده از معیارهای فاصله زیر متانظر با مدل مربوط به محاسبه شد:

ذرت را در چهار محیط مورد ارزیابی عملکرد و پایداری قرار دادند. نتایج این مطالعه نشان داد که تجزیه خوش‌های مدل‌های اول و سوم و همچنین مدل‌های دو و چهارم تقریباً مسابه بودند. در مطالعه‌ای محب‌الدینی (Mohebaldini, 2005) پایداری یازده رقم عدس بهاره را با استفاده از روش‌های خوش‌های لین و باتلر (1999) مورد بررسی قرار داد. نتایج این تحقیق نشان داد که گروه‌بندی ژنتیک‌ها بر اساس مدل‌های رگرسیونی اول و دوم لین و باتلر تطابق بیشتری با نتایج سایر روش‌های تجزیه پایداری دارد. با وجود کارآیی بالای روش‌های لین و باتلر (Lin and Butler, 1990) در آزمایش‌های چندمحیطه و گروه‌بندی ژنتیک‌ها بر اساس اثر متقابل ژنتیک × محیط کمتر بین گروه‌ها گزارش‌های کمی در مورد استفاده این مدل‌ها برای پژوهش‌های اثر متقابل ژنتیک × محیط وجود دارد.

این مطالعه با هدف استفاده از چهار مدل مختلف گروه‌بندی ژنتیک‌ها بر مبنای تجزیه واریانس و رگرسیون، لین و باتلر (Lin and Butler, 1990) برای گروه‌بندی سیزده لاین و رقم کلزا زمستانه در اقلیم سرد ایران انجام شد.

مواد و روش‌ها

در این مطالعه به منظور بررسی سازگاری عملکرد لاین‌های کلزا در اقلیم سرد کشور،

مدل ۱	$d_1(1,2,\dots,r) = [\sum_{i=1}^r (1,2,\dots,r) - \sum SSD(i)]/[2(r-1)]$
مدل ۲	$d_2(1,2,\dots,r) = [\sum_{i=1}^r SSR(i) - \sum SSR(1,2,\dots,r)]/(r-1)$
مدل ۳	$d_3(1,2,\dots,r) = [SS(GE) + SS(G)]/[n(r-1)]$
مدل ۴	$d_4(1,2,\dots,r) = SS(GE)/[(n-1)(r-1)]$

(Anonymous, 2011) SAS انجام شد.

نتایج و بحث
مشخصات مکان‌های آزمایش و ارقام
مورد استفاده در این تحقیق به ترتیب در
جدول‌های ۱ و ۲ درج شده است.

بر اساس نظر لین و باتلر (1990) نقطه برش جایی تعیین می‌شود که F محاسبه شده معنی‌دار باشد. گروه‌بندی، تعیین نقطه برش و ترسیم دندروگرام با استفاده از نتایج حاصل از نرم افزار S116 و سایر محاسبات و تجزیه‌ها نیز با نرم افزار

جدول ۱- مشخصات جغرافیائی مناطق آزمایش

Table 1. Geographical characteristics of the experimental locations

Location	مناطق	Altitude (m)	ارتفاع از سطح دریا	طول جغرافیایی	عرض جغرافیایی	بارندگی Rainfall (mm)
Karaj	کرج	1300	57.50	35.48	250	
Isfahan	اصفهان	1612	51.26	36.32	125	
Hamedan	همدان	1820	48.34	36.46	331	
Kermanshah	کرمانشاه	1346	47.26	34.08	538	
Arak	اراک	1708	46.49	34.06	300	
Bojnurd	بنورد	950	58.08	37.19	250	

شد. با توجه به معنی دار بودن آزمون یکنواختی واریانس خطاهای دو سال آزمایش ایستگاه‌های اراک و بنورد به علت داشتن واریانس خطای بسیار بالا که عامل غیریکنواختی در بین واریانس خطاهای آزمایشی تشخیص داده و حذف شدند، سپس تجزیه واریانس مرکب برای عملکرد دانه بر مبنای چهار مکان و دو سال با

پس از آزمون نرمال بودن اشتباہات آزمایشی، ابتدا تجزیه واریانس ساده عملکرد دانه، برای هر مکان در هر سال انجام شد. نتایج نشان داد که تنها در کرمانشاه سال اول و اصفهان سال دوم اختلاف معنی‌دار آماری بین ژنوتیپ‌ها وجود داشت. با استفاده از آزمون بارتلت یکنواختی خطاهای آزمایشی بررسی

جدول ۲- مشخصات لاین های کلزا ارزیابی شده در هشت محیط (دو سال در چهار مکان)
Table 2. Description of rapeseed lines assessed in eight environments (two years and four locations)

شماره لайн	نام لайн	شجره	میانگین مربعات رگرسیون	میانگین مربعات انحراف از رگرسیون	میانگین عملکرد لاین ها	شیب خط رگرسیون
Line No.	Line name	Pedigree	MSR	MSD	Average (kgh^{-1})	bi
1	L73	GA096×Zarfam	4558233	31570.67*	3456 ^{ns}	0.95 ^{ns}
2	R20	Modena×GAo96	3461268	15038.50 ^{ns}	3508 ^{ns}	0.83 ^{ns}
3	L201	Sunday×Geronimo	9401679	17971.50 ^{ns}	3518 ^{ns}	1.36*
4	L101	Modena×Okapi	5160106	27284.83*	3173 ^{ns}	1.01 ^{ns}
5	L63	Sunday×Geronimo	1797351	26709.33*	3682 ^{ns}	0.59 ^{ns}
6	L190	Okapi×GA096	6253673	6422.00 ^{ns}	3266 ^{ns}	1.11 ^{ns}
7	L137	Orient×Modena	6975377	9986.50 ^{ns}	3547 ^{ns}	1.17 ^{ns}
8	L119	Okapi×SW0756	8336377	11158.33 ^{ns}	3546 ^{ns}	1.28*
9	L118	Okapi×SW0756	5521144	13177.17 ^{ns}	3615 ^{ns}	1.04 ^{ns}
10	L5	Geronimo×Sunday	3412488	18689.00 ^{ns}	3257 ^{ns}	0.82 ^{ns}
11	L155	Sunday×Modena	4220500	23774.17*	3508 ^{ns}	0.92 ^{ns}
12	L193	Okapi×Modena	6016869	18501.67 ^{ns}	3448 ^{ns}	1.09 ^{ns}
13	Okapi	Okapi (Check)	3607841	12352.83 ^{ns}	3489 ^{ns}	0.84 ^{ns}

* و ns : به ترتیب غیرمعنی دار و معنی دار در سطح احتمال ۵ درصد.
ns and *: Not significant and significant at the 5% probability level, respectively.

عملکرد لاین‌ها از سالی به سال دیگر و از مکانی به مکان دیگر بود. لذا شرط لازم برای بررسی پایداری عملکرد لاین‌ها فراهم بود بنابراین برای گروه‌بندی لاین‌ها بر مبنای اثر متقابل ژنتیپ × محیط از روش تجزیه خوشه‌ای لین و باتلر (Lin and Butler, 1990) بر چهار مدل (جدول ۳) استفاده شد.

فرض ثابت بودن اثر ژنتیپ و تصادفی بودن اثر سال و مکان انجام شد (جدول ۳). نتایج حاصل از تجزیه واریانس مرکب برای عملکرد دانه نشان داد که اثر مکان و سال × مکان در سطح احتمال یک درصد و اثر متقابل سه‌جانبه ژنتیپ × سال × مکان در سطح احتمال پنج درصد معنی‌دار بودند. معنی‌دار بودن اثر متقابل سه‌جانبه ژنتیپ × سال × مکان بیانگر اختلاف متوسط

جدول ۳- تجزیه واریانس مرکب برای عملکرد دانه لاین‌های کنزا
Table 3. Combined analysis of variance for seed yield of rapeseed lines

S.O.V.	منابع تغییرات	درجه آزادی	میانگین مربعات
	سال	df.	MS
Year	سال	1	13308099.3 ^{ns}
Location	مکان	3	58754919.8*
Year × Location	سال × مکان	3	3583924.1**
Rep / Year × Location	تکرار / سال × مکان	16	663870.1
Genotype	ژنتیپ	12	579037.5 ^{ns}
Genotype × Year	ژنتیپ × سال	12	593080.7 ^{ns}
Genotype × Location	ژنتیپ × مکان	36	379039.5 ^{ns}
Genotype × Year × Location	ژنتیپ × سال × مکان	36	445019.7*
Error	خطای مرکب	192	292104.9
Coefficient of variation (%)	ضریب تغییرات	15.58	

* و **: بهترین غیرمعنی‌دار در سطح احتمال ۵ درصد و ۱ درصد.

ns, * and **: Not significant, significant at the 5% and 1% probability levels, respectively.

(جدول ۴). با توجه به نتایج لین و باتلر (Lin and Butler, 1990)، لین (Lin, 1982) و لین و همکاران (Lin *et al.*, 1986) می‌توان اظهار داشت که شبیخ طوط رگرسیونی لاین‌ها

براساس نظر لین و باتلر (1990) اثر متقابل ژنتیپ × محیط به دو بخش غیریکنواختی و باقی‌مانده تجزیه می‌شود، که اثر غیریکنواختی در سطح احتمال پنج درصد معنی‌دار شد

جدول ۴- تجزیه واریانس مرکب روش لین و باتلر
Table 4. Lin and Butler combined analysis methods

S.O.V.	منابع تغییرات	درجه آزادی	میانگین مربوط
		df.	MS
Environment (E)	محیط	7	9438311.0**
Genotype (G)	ژنوتیپ	12	172219.2ns
G × E	ژنوتیپ × محیط	84	131304.7ns
Heterogeneity Between Groups	غیریکنواختی بین گروهی	12	221228.0*
Residual	باقی مانده	72	116317.5ns
Error	خطای مرکب	192	292104.9

. ns, * و **: بهترتب غیرمعنی دار و معنی دار در سطح احتمال ۵ درصد و ۱ درصد.
ns, * and **: Not significant, significant at the 5% and 1% probability levels, respectively.

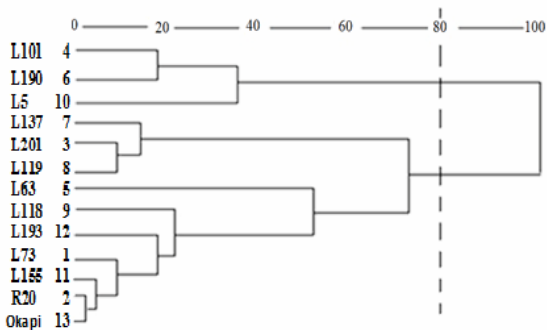
باقی مانده معیار مناسب تری برای آزمون اثر متقابل ژنوتیپ × محیط نسبت به واریانس خطای آزمایشی کل به شمار می رود. در غیر این صورت استفاده از مدل های سوم و چهارم مناسب تر است. با توجه به این که ضرایب تبیین اکثر لاین ها بالاتر از ۸۰ درصد بود و نیز اثر متقابل ژنوتیپ × محیط، جدول دو طرفه ژنوتیپ × محیط برای تعیین نقطه برش برای مدل های سوم و چهار معنی دار نبود فقط نتایج مدل های اول و دوم آورده شده است. نتایج این مطالعه از نظر استفاده از مدل های اول و دوم، با نتایج به دست آمده از سایر مطالعات مشابه (Karimizadeh *et al.*, 2012؛ Sabaghnia *et al.*, 2012a,b) مطابقت کامل دارد. مدل اول لاین ها را بر اساس شباهت عرض از مبدأ (میانگین لاین ها) و شیب خط رگرسیون (اثر متقابل ژنوتیپ بر محیط) گروه بندی کرد. بر

در محیط های مختلف با هم اختلاف معنی دار آماری داشتند. نتایج تجزیه رگرسیون به همراه مقادیر میانگین تمام لاین ها در جدول ۲ درج شده است.

به اعتقاد لین و باتلر (1990) چنانچه ضریب تبیین رگرسیون میانگین ارقام روی میانگین محیط ها بیشتر از ۷۰ درصد باشد، استفاده از روش رگرسیونی اول و دوم به دلیل این که مقایسه ژنوتیپ ها بر پایه پاسخ به محیط یا شیب خطوط رگرسیون است و با توجه به این که مقدار بالای ضریب تبیین معیار مناسب تری نسبت به روش تجزیه واریانس به شمار می رود، و همچنین به این دلیل که در مدل رگرسیونی اثر متقابل ژنوتیپ × محیط به دو بخش غیریکنواختی و باقی مانده تجزیه می شود در نتیجه با محاسبه اثر غیریکنواختی که بیانگر سهم اثر تصادفی همچون تغییرات دمایی و میزان بارندگی است (جدول ۴)، لذا مقدار واریانس

در زیر گروه اول لاین های شماره ۷، ۳ و ۸ قرار گرفتند که با داشتن عملکرد بالا و شیب رگرسیونی بالاتر از ۱ دارای پایداری بالا بودند (جدول ۲) و برای مناطق با عملکرد بالا توصیه شدند چون با بهبود محیط عملکرد این لاین ها نیز افزایش می یابد. در دیگر زیر گروه سایر لاین ها قرار گرفتند، این لاین ها دارای پایداری پایین هستند و برای محیط های ضعیف توصیه شدند.

اساس نتایج این مدل نقطه برش در چرخه ۱۲ قرار گرفت (جدول ۵) و لاین ها به دو گروه مجزا تقسیم شدند (شکل ۱)، در گروه اول لاین های شماره ۴، ۶ و ۱۰ قرار گرفتند که شیب خط رگرسیونی نزدیک به یک و دارای عملکرد پایین بودند، این گروه دارای پایداری متوسط و عملکرد آنها کمتر تحت تأثیر محیط بود. بقیه لاین ها در گروه دوم قرار گرفتند که این گروه خود نیز به دو زیر گروه تقسیم شد،



شکل ۱- دندروگرام حاصل از تجزیه خوشهای مدل اول
Fig. 1. Cluster analysis dendrogram of the first model

عملکرد بالا توصیه شدند. لاین های شماره ۴، ۹، ۶ و ۱۲ با شیب خط رگرسیونی نزدیک به ۱ دارای پایداری متوسط بودند. در گروه دوم لاین های شماره ۵، ۱، ۱۱، ۲، ۱۰ و ۱۳ قرار گرفتند در این گروه لاین شماره ۵ با شیب خط رگرسیونی ۰/۵۹ (جدول ۲) کمترین میزان پایداری را بود و برای مناطق بسیار ضعیف توصیه شد.

با توجه به این که که روش های تجزیه خوشهای لین و باتلر (Lin and Butler, 1990، ۱/۲۸ ژنوتیپ ها را براساس واکنش آنها به محیط های

مدل دوم لاین ها را بر اساس شیب خط رگرسیون (اثر متقابل ژنوتیپ × محیط) گروه بندی کرد. بر اساس نتایج این مدل نقطه برش در چرخه ۱۲ تعیین شد که این خط برش لاین ها را به دو گروه تقسیم کرد (شکل ۲). در گروه اول لاین های شماره ۳، ۴، ۸، ۹، ۷ و ۱۲ قرار گرفتند که دارای شیب خط رگرسیونی بالاتر یا مساوی با ۱ بودند لاین های شماره ۳ و ۸ با داشتن شیب خط رگرسیونی به ترتیب ۱/۳۶ و ۱/۲۸ که اختلاف معنی داری با یک داشتند، دارای پایداری بالا بودند که برای محیط های با

جدول ۵- حداقل شاخص فاصله در هر سیکل از خوشبندی و تعیین نقطه برش برای مدل‌های اول و دوم

Table 6. The smallest dissimilarity index at each cluster cycle and the determination of the cutting point for first and second model

مدل Method	چرخه Cycle	گروه‌بندی ژنوتیپ‌ها Genotypes grouped	شاخص فاصله حداقل Smallest dissimilarity index	محاسبه شده F Calculated F-ratio	درجه آزادی df.		جدول F Tabular F-value
					v1	v2	
	1	(2 و 13)	1105	0.009	2	72	3.13 ^{ns}
	2	11 و (2 و 13)	5749	0.049	4	72	2.50 ^{ns}
	3	(3 و 8)	9553	0.080	2	72	3.13 ^{ns}
	4	1 و (11 و 2 و 13)	10730	0.092	6	72	2.23 ^{ns}
	5	7 و (3 و 8)	23859	0.205	4	72	2.50 ^{ns}
	6	(4 و 6)	30567	0.263	2	72	3.13 ^{ns}
1	7	12 و (1 و 11 و 2 و 13)	31106	0.267	8	72	2.07 ^{ns}
	8	9 و 2 و 11 و 12 و (13)	42735	0.367	10	72	1.97 ^{ns}
	9	(4 و 6) و 10	65549	0.564	4	72	2.50 ^{ns}
	10	5 و 9 و 12 و 11 و 2 و (13)	97796	0.841	12	72	1.89 ^{ns}
	11	(7 و 3 و 5 و 9 و 12 و 11 و 2 و 13)	155167	1.334	18	72	1.75 ^{ns}
	12	(4 و 6 و 10 و 7 و 13 و 9 و 5 و 8 و 3 و 2 و 11 و 12 و 1 و 5 و 6 و 13 و 10 و 2 و 11 و 1 و 5 و 6 و 7 و 9 و 4 و 3 و 2 و 11 و 12 و 1 و 5 و 6 و 7 و 9 و 4 و 3)	196721	1.691	24	72	1.67*
	1	(2 و 10)	87	0.001	1	72	3.98 ^{ns}
	2	(2 و 10 و 13)	736	0.006	2	72	3.13 ^{ns}
	3	(6 و 12)	1142	0.010	1	72	3.98 ^{ns}
	4	(4 و 9)	3050	0.026	1	72	3.98 ^{ns}
	5	(1 و 11)	3249	0.028	1	72	3.98 ^{ns}
2	6	7 و (6 و 12)	9567	0.082	2	72	3.13 ^{ns}
	7	(3 و 8)	16011	0.138	1	72	3.98 ^{ns}
	8	(1 و 11 و 2 و 10 و 13)	16454	0.141	3	72	2.74 ^{ns}
	9	(4 و 9 و 7 و 6 و 12)	20190	0.174	4	72	2.50 ^{ns}
	10	5 و 13 و 11 و 2 و 10 و 9 و 1 و 12 و 11 و 2 و 10 و 13	76953	0.662	4	72	2.50 ^{ns}
	11	(3 و 8 و 4 و 9 و 7 و 6 و 12)	83904	0.721	6	72	2.23 ^{ns}
	12	(3 و 8 و 4 و 9 و 7 و 6 و 12 و 11 و 2 و 10 و 13)	221227	1.902	12	72	1.89*

*: غیرمعنی‌دار و معنی‌دار در سطح احتمال ۵ درصد.

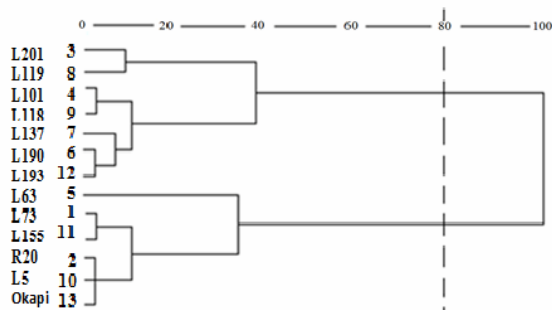
ns and *: Not significant and significant at the 5% probability level.

در ستون گروه‌بندی ژنوتیپ‌ها اعداد ۱ تا ۱۳ شماره لاین‌ها مشخص شده در جدول ۲ هستند.

Figures 1-13 in Genotype grouped column are No. of lines denoted in Table 2.

هر دور دسته‌بندی، کوچک‌ترین شاخص عدم تشابه به صورت یکنواخت افزایش می‌یابد، لذا توافق دسته‌بندی بر مبنای آزمون F سبب تضمین یکنواختی افراد داخل هر گروه می‌شود. این موضوع روش خوشبندی لین و باتلر (۱۹۹۰) را از سایر روش‌های خوشبندی متمایز می‌کند. در

مختلف دسته‌بندی می‌کند، بنابراین سبب تغییر درجه‌بندی پایداری ژنوتیپ‌ها توسط معیارهای کمی به زیر مجموعه‌های یکنواخت می‌شود. نقطه قوت استفاده از مدل‌های چهارگانه لین و باتلر (۱۹۹۰) تعیین نقطه برش به وسیله آزمون F است و با توجه به این که در



شکل ۲- دندروگرام حاصل از تجزیه خوشه‌ای مدل دوم

Fig. 2. Cluster analysis dendrogram of the second model

سپاسگزاری
از همکاری مسئولین بخش تحقیقات
دانه‌های روغنی موسسه تحقیقات اصلاح و تهیه
نهال و بذر کرج و کلیه محققین، کارشناسان
 مجری و تکنسین‌هایی که در اجرا و ثبت
داده‌های اولیه در شهرستان‌های مختلف نقش
داشتند، تشکر و قدر دانی می‌شود.

این آزمایش با استفاده از مدل‌های
تجزیه خوشه‌ای لین و باتلر (۱۹۹۰)
لاین‌های شماره ۳، ۷ و ۸ به عنوان پایدارترین
ژنتیک‌ها شناخته شدند و لاین شماره ۵ نیز با
کمترین میزان پایداری برای محیط‌های نامساعد
توصیه شد. لذا تجزیه خوشه‌ای را می‌توان
به عنوان یک راه حل در تجزیه پایداری استفاده
کرد.

References

- Abou-el-Fittouh, H. A., Rawlings, J. O., and Miller, P. A. 1969.** Classification of environments to control genotype by environment interactions with an application to cotton. *Crop Science* 9: 135-140.
- Allard, R. W., and Bradshaw, A. D. 1964.** Implications of genotype-environmental interactions in applied plant breeding. *Crop Science* 4: 503-508.
- Anonymous 2011.** SAS/STAT User's Guide, Second Edition. SAS Institute Inc., Cary, NC, USA.
- Finlay, K. W., and Wilkinson, G. N. 1963.** The analysis of adaptation in plant breeding program. *Australian Journal of Agriculture Research* 14: 742-754.
- Freeman, G. 1985.** The analysis and interpretation of interactions. *Journal of Applied*

Statistics 12: 3-10.

- Gauch, H. G. 1988.** Model selection and validation for yield trials with interaction. Biometrics 44: 705-715.
- Ghaderi, A., Everson, E. H., and Cress, C. E. 1980.** Classification of environments and genotypes in wheat. Crop Science 20: 707-710.
- Johnson, R. A., and Wichern, D. W. 2002.** Applied Multivariate Statistical Analysis, 5th. ed., Texas: Prentice Hall, USA. 767 pp.
- Karimizadeh, R., Dehghani, H., and Dehghanpour, Z. 2006.** The application of cluster analysis for hybrid zea (*Zea mays L.*) stability determination. Iranian Journal of Agricultural Sciences 10 (3): 337-347 (in Persian).
- Karimizadeh, R., Mohammadi, M., Sabaghnia, N., Hosseinpour, T., and Shafazadeh, M.K. 2012.** Analysis of genotype and genotype × environment interaction in durum wheat in warm rainfed areas of Iran. Crop Breeding Journal 2: 71-78.
- Kaiser, D. E., Wiersma, J. J., and Anderson, J. A. 2014.** Genotype and environment variation in elemental composition of spring wheat flag leaves. Agronomy Journal 106: 324-336.
- Lin, C. S. 1982.** Grouping genotypes by a cluster method directly related to genotype-environment interaction mean square. Theoretical and Applied Genetics 62: 277-280.
- Lin, C. S., Binns, M. R., and Lefkovitch, L. P. 1986.** Stability analysis: Where do we stand? Crop Science 26: 894-900.
- Lin, C. S., and Butler, G. 1990.** Cluster analyses for analyzing two-way classification data. Agronomy Journal 82: 344-348.
- Lin, C. S., and Thompson, B. 1975.** An empirical method of grouping genotypes based on a linear function of the genotype-environment interaction. Heredity 34: 255-263.
- Mohebaldini, M. 2005.** Yield and stability analysis in some spring lentil (*Lens culinaris L.*) cultivars. Ph. D. Thesis, University of Tarbiat Modares, Tehran, Iran (in Persian).
- Moreno-González, J., Crossa, J., and Cornelius, P. 2004.** Genotype × environment interacion in multi-environment trials using shrinkage factors for ammi models. Euphytica 137: 119-127.

- Nassar, R., and Huehn, M. 1987.** Studies on estimation of phenotypic stability: Tests of significance for nonparametric measures of phenotypic stability. *Biometrics* 43: 45-53.
- Ramey, T. B., and Rosielle, A. A. 1983.** HASS cluster analysis: A new method of grouping genotypes or environments in plant breeding. *Theoretical and Applied Genetics* 66: 131-133.
- Sabaghnia, N., Mohammadi, M., and Karimizadeh, R. 2012a.** Interpretation of genotype \times environment interaction in multi-environment trials of bread wheat using cluster analysis. *Natura Montenegrina Podgorica* 11: 511-523.
- Sabaghnia, N., Mohammadi, M., and Karimizadeh, R. 2012b.** Grouping lentil genotypes by cluster methods related to linear regression model and genotype \times environment interaction variance. *Yuzuncu Yil University Journal of Agriculture Science* 22: 134-145.
- Shorter, R., Byth, D. E., and Muntgomery, V. E. 1977.** Genotype \times environment interactions and environmental adaptation. II. Assessment of environmental contributions. *Australian Journal of Agriculture Research* 28: 233-235.
- Thennarasu, K. 1995.** On certain non-parametric procedures for studying genotype-environment interactions and yield stability. *Indian Journal OF Genetics* 60: 433-439.
- Yan, W. 2012.** Biplot analysis of incomplete two-way data. *Crop Science* 53: 48-57.
- Yan, W., Kang, M. S., Maa, B., Woods, S., and Cornelius, P. L. 2007.** GGE biplot vs. AMMI analysis of genotype-by-environment data. *Crop Science* 47: 643-655.
- Yan, W. R. 2002.** Biplot analysis of test sites and trait relations of soybean in Ontario. *Crop Science* 42: 11-20.
- Yates, F., and Cochran, W. 1938.** The analysis of groups of experiments. *Journal of Agricultural Science* 28: 269-288.
- Zhang, H., Berger, J. D., and Milroy, S. P. 2013.** Genotype \times environment interaction studies highlight the role of phenology in specific adaptation of canola (*Brassica napus*) to contrasting mediterranean climates. *Field Crops Research* 144: 77-88.
- Zobel, R., Wright, M., and Gauch, H. G. 1988.** Statistical analysis of a yield trial. *Agronomy Journal* 80: 388-393.

